

## Планирование эксперимента по выявлению изменений в программном обеспечении микроконтроллеров с *flash*-памятью при воздействии электростатического разряда

Г.А. ПИСКУН, В.Ф. АЛЕКСЕЕВ

Представлен новый подход к планированию эксперимента по технической диагностике микроконтроллеров с установленным во встроенную *flash*-память программным обеспечением после воздействия электростатического разряда. Впервые предложен алгоритм, основанный на анализе целостности хранящегося во *flash*-памяти массива данных с применением специализированных хеш-функций. Показано, что предложенный алгоритм позволяет выявить потенциально ненадежные микроконтроллеры на стадии программирования.

**Ключевые слова:** микроконтроллер, электростатический разряд, хеш-функция.

A new approach to the planning of the experiment for technical diagnostics microcontroller with installed in the built-in *flash*-memory software after effects of electrostatic discharge. First an algorithm was proposed based on the analysis of the integrity of the stored in *flash*-memory dataset using specialized hash functions. It is shown that the proposed algorithm can detect potentially unreliable microcontrollers programming phase.

**Keywords:** microcontrollers, static discharge, hash function.

**Введение.** Обширная номенклатура современных микроконтроллеров (МК) с разнообразными функциональными возможностями создают разработчикам электронных средств, с одной стороны, достаточно хорошие условия для проектирования сложной конкурентоспособной аппаратуры различного назначения. С другой же стороны, осуществить эффективную защиту МК от внешних воздействий, особенно от такого деструктивного влияния как электростатический разряд (ЭСР), достаточно сложно, так как высокая степень микроминиатюризации компонентов, входящих в состав полупроводникового кристалла МК, влечет за собой повышение чувствительности к действию разрядов статического электричества. Таким образом, проблема обеспечения и оценки устойчивости МК в части функциональных и эксплуатационных характеристик к воздействию ЭСР приобретает особое значение [1]–[4].

Несмотря на значительное внимание, уделяемое в настоящее время методам оценки воздействия электростатических разрядов на МК, в них недостаточно глубоко рассматриваются процессы отказов, протекающие в таком наиболее значимом функциональном блоке микроконтроллеров, как *flash*-память. В свою очередь, это значительно осложняет проведение технической диагностики функционально сложной аппаратуры, построенной на базе МК, поскольку отказы могут происходить не только в части поврежденных полупроводникового кристалла, но и в установленном во встроенную *flash*-память МК программном обеспечении (ПО) [5], [6].

Таким образом, проведение изысканий в области оценки устойчивости МК с установленным во встроенную *flash*-память ПО к воздействию ЭСР определяется фундаментальностью и сложностью проблемы, отсутствием адекватных моделей технической диагностики, а также алгоритмов оценки и проведения испытаний МК на устойчивость к воздействию ЭСР.

Учитывая существующую связь работоспособности МК и надежности электронных средств, исследования, направленные на решение задач повышения устойчивости микроконтроллеров к влиянию ЭСР, являются актуальными и представляют значительный интерес не только с научной, но и с практической точки зрения.

**1. Исходная модель объекта диагностирования.** Для выявления программных изменений в массиве данных, установленном во встроенную *flash*-память микроконтроллера, вызванных влиянием разрядов статического электричества, наиболее оптимальным является совершенствование планирования эксперимента.

*Планирование эксперимента* – это процедура выбора числа и условий проведения опытов, необходимых и достаточных для решения поставленной задачи с требуемой точностью [4], [7].

Данный процесс обеспечивает оптимальное исследование разнообразных объектов в части:

- минимизации числа опытов и, следовательно, времени и затрат;
- реализации специальных планов эксперимента, предусматривающих одновременное варьирование всеми переменными;
- использования аппарата математической статистики, позволяющего формализовать многие действия экспериментатора и принимать обоснованные решения после каждой серии экспериментов.

На основании вышесказанного представим объект диагностирования, т.е. микроконтроллер, и все множество воздействующих факторов, определяющих работу исследуемого объекта, следующим образом (рисунок 1):

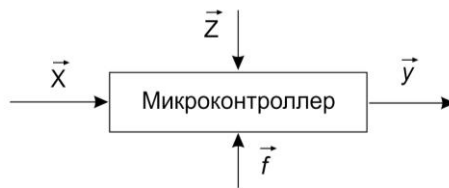


Рисунок 1 – Схема представления микроконтроллера для целей диагностирования

Одна часть входов системы является  $p$ -мерным вектором параметров МК  $\vec{X}$ , которые можно условно разделить на множество определяющих параметров (параметры, существенно влияющие на изменение выходных параметров МК) и множество неопределяющих параметров (параметры несущественно влияющие на изменение выходных параметров МК).

Другая часть входов представлена  $\mu$ -мерным вектором входных воздействий  $\vec{Z}$ . Этот вектор представляет собой совокупность управляющих воздействий на микроконтроллер, каждое из которых характеризуется своими показателями.

Вместе с тем, на МК действует  $\chi$ -мерный вектор дестабилизирующих воздействий  $\vec{f}$ , который определяется фактическими условиями эксплуатации исследуемого объекта.

На выходе МК наблюдается  $m$ -мерный вектор выходных параметров  $\vec{y}$ , который непосредственно зависит от параметров, поступающих с входов системы технической диагностики.

Связь входов и выходов диагностируемого микроконтроллера примет вид следующего уравнения (1) [4]:

$$y = W(x, z, f), \quad (1)$$

где  $W$  – оператор связи.

При этом, учитывая, что определяющим состоянием микроконтроллера является способность выполнять запрограммированные функции, под условием работоспособности рассматриваемой структурной единицы понимается выполнение совокупности следующих неравенств (2) [4]:

$$y_{j\min} \leq y_j(x) \leq y_{j\max}, \quad (2)$$

где  $y_j(x)$  – функция работоспособности;  $y_{j\max}$ ,  $y_{j\min}$  – наибольшее и наименьшее значение  $j$ -го параметра.

## 2. Методика проведения эксперимента с анализом используемых микроконтроллеров

*Целью* планирования эксперимента по выявлению изменений в установленном программном обеспечении при воздействии на МК разрядов статического электричества является определение значения напряжения, при котором были выявлены изменения в массиве данных.

Достижение данной цели осуществлялось на основании реализации следующих задач:

1. Выполнение стирания встроенной *flash*-памяти микроконтроллеров с дальнейшей

записью и сверкой программного обеспечения с эталонной версией.

*Эталонной версией программного обеспечения* будем называть все или часть программ, процедур, правил и соответствующей документации системы обработки информации, относящихся к функционированию МК.

Учитывая то, что встроенная внутрисистемная электрически программируемая *flash*-память МК позволяет перепрограммировать память программ обычным программатором постоянной памяти, в эксперименте целесообразно использовать современный USB-программатор, например, *ChipProg-481* [8].

Для определения целостности данных при их записи и хранении во встроенной *flash*-памяти МК был произведен дополнительный расчет хеш-функций (MD5 и SHA-1), результаты которых представлены в таблице 1:

Таблица 1 – Полученные значения хеш-кодов для эталонного массива данных

Наименование хеш-функции	Хеш-код
MD5	74014bd69c9cf562409194ed5d867fdc
SHA-1	2d7d00af182c61fa166a8f3fd6fd830cf5eb78c6

## 2. Воздействие контактным разрядом статического электричества на МК.

На каждый контактный вывод МК производилось попеременно по 10 одиночных разрядов разной полярности с интервалом между последовательными одиночными разрядами равным 1 с. Длительность импульса составляет  $0,7 \div 1$  нс [9].

Разрядный наконечник испытательного генератора (ИГ) для осуществления контактного разряда ЭСР располагался перпендикулярно к поверхности контактных выводов МК, что позволяло улучшить повторяемость результатов проводимых испытаний (рисенок 3) [9].

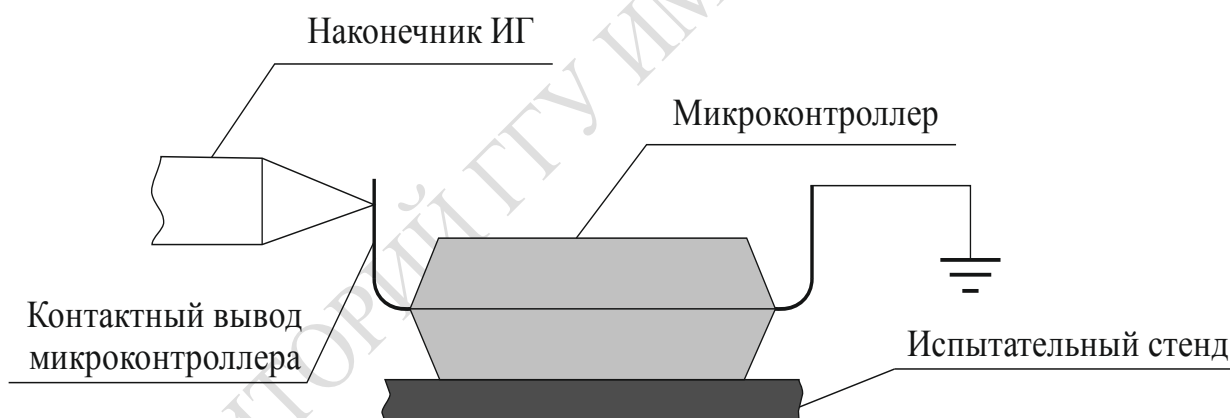


Рисунок 3 – Схема расположения разрядного наконечника испытательного генератора ЭСР

Первоначальное значение напряжения ЭСР (250 В) выбрано в соответствии с методом 502-1.1а [10]. Последующие значения напряжений воздействующих ЭСР составляли 500 В, 1 кВ, 2 кВ и 4 кВ. При данных значениях никаких изменений не было выявлено.

## 3. Ступенчатое повышение напряжения ЭСР.

Постепенное увеличение напряжения воздействующего разряда статического электричества на 0,1 кВ вызвано необходимостью получения более точных данных по отказам.

## 4. Сверка установленного ПО во *flash*-памяти МК с эталонным.

Наиболее оптимальное проведение анализа целостности установленного во встроенную *flash*-память массива данных возможно с помощью использования хеш-функций.

## 5. Определение степени повреждений ПО.

На данном этапе человек-оператор, осуществляющий диагностику МК, принимает решение о степени повреждения ПО и целесообразности дальнейшего использования.

Итоговый алгоритм имеет следующий вид (рисунок 4):



Рисунок 4 – Алгоритм анализа целостности массива данных

**3. Экспериментальные результаты и их обсуждение.** Для проведения эксперимента использовался МК типа Attiny 2313/V, который построен на AVR-усовершенствованной RISC-архитектуре и представляет собой восьмиразрядную микросхему с внутренней программируемой *flash*-памятью размером 2 Кб [11], [12].

В процессе стирания все ячейки памяти соответствуют значениям FF. Данная операция выполнялась в течении 3 мкс. Время записи массива данных размером 2 Кб составило 2 мкс. Использование встроенной в систему программатора функции сверки, позволило определить то, что программное обеспечение записано без каких-либо изменений.

*Диагностика микроконтроллера типа Attiny 2313/V.*

– напряжение ЭСР от 5,0 до 5,2 кВ.

Данное напряжение воздействующего разряда статического электричества не является стандартным, но его выбор обусловлен проведенным анализом технического описания на данный тип МК [11].

При воздействии на контактные выводы микроконтроллера с установленным во встроенную *flash*-память программным обеспечением ЭСР не было выявлено никаких изменений в выполнении запрограммированных функций (рисунок 5).

Однако при осуществлении процесса стирания и записи было выявлено то, время записи массива данных размером 2 Кб составило 1 мин. 24 с. Также стоит отметить, что контрольные суммы записанного во *flash*-память программного обеспечения не соответствуют эталонному значению (табл. 2), что говорит о возникновении повреждений в структуре полупроводникового кристалла микроконтроллера.

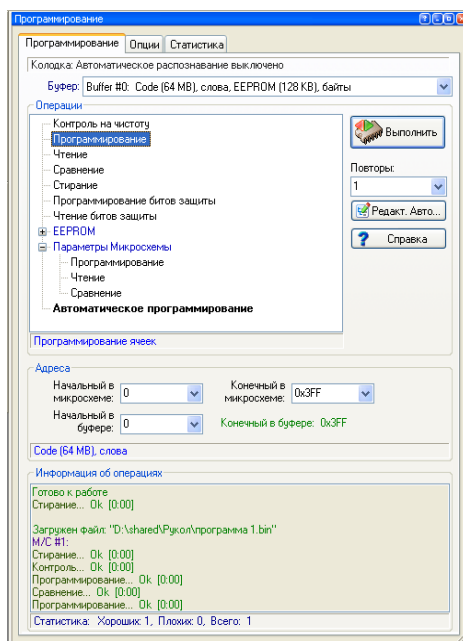


Рисунок 5 – Успешное проведение операций с микроконтроллером

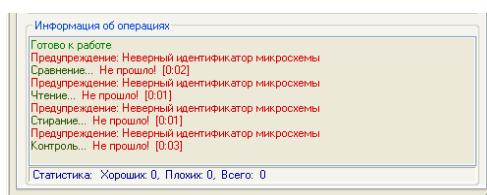
Таблица 2 – Сравнение значений хеш-функций полученного ПО с эталонным

Наименование хеш-функции	Хеш-код	Результат
MD5	71e0129e33122b0393dcb329112d567d	Полученное
	74014bd69c9cf562409194ed5d867fdc	Эталонное
SHA-1	24c8b30ac252c92813c4a0e65e22938990f747e2	Полученное
	2d7d00af182c61fa166a8f3fd6fd830cf5eb78c6	Эталонное

Из анализа хеш-кодов видно, что полученные и эталонные значения расходятся. Таким образом, начальным значением напряжения, при котором начинается изменение в инсталлированном во встроенную *flash*-память МК программном обеспечении, является 5,0 кВ.

– напряжение ЭСР – 5,3 кВ.

После воздействия на контактные выводы МК разрядом статического электричества напряжением 5,3 кВ было осуществлено обращение к встроенной *flash*-памяти МК с помощью программатора. Однако при этом были выявлены значительные повреждения, не позволяющие проведение каких-либо операций (рисунок 6).

Рисунок 6 – Проведение операций со встроенной *flash*-памятью МК невозможно

Учитывая то, что из памяти микроконтроллеров невозможно было считать какую-либо информацию, то снять контрольные суммы и сверить их значения с эталонными значениями также было невозможно.

– напряжение ЭСР – 5,4 кВ и выше.

На этапе функционального контроля исследуемых МК провести какие-либо операции было невозможно, что, в свою очередь, обусловлено полной утратой работоспособности [13].

На основании полученных результатов вследствие проведения эксперимента построим графическую зависимость проявления повреждений в массиве данных, хранящемся во встроенной *flash*-памяти МК, после воздействия разрядов статического электричества различных номиналов (рисунок 7).

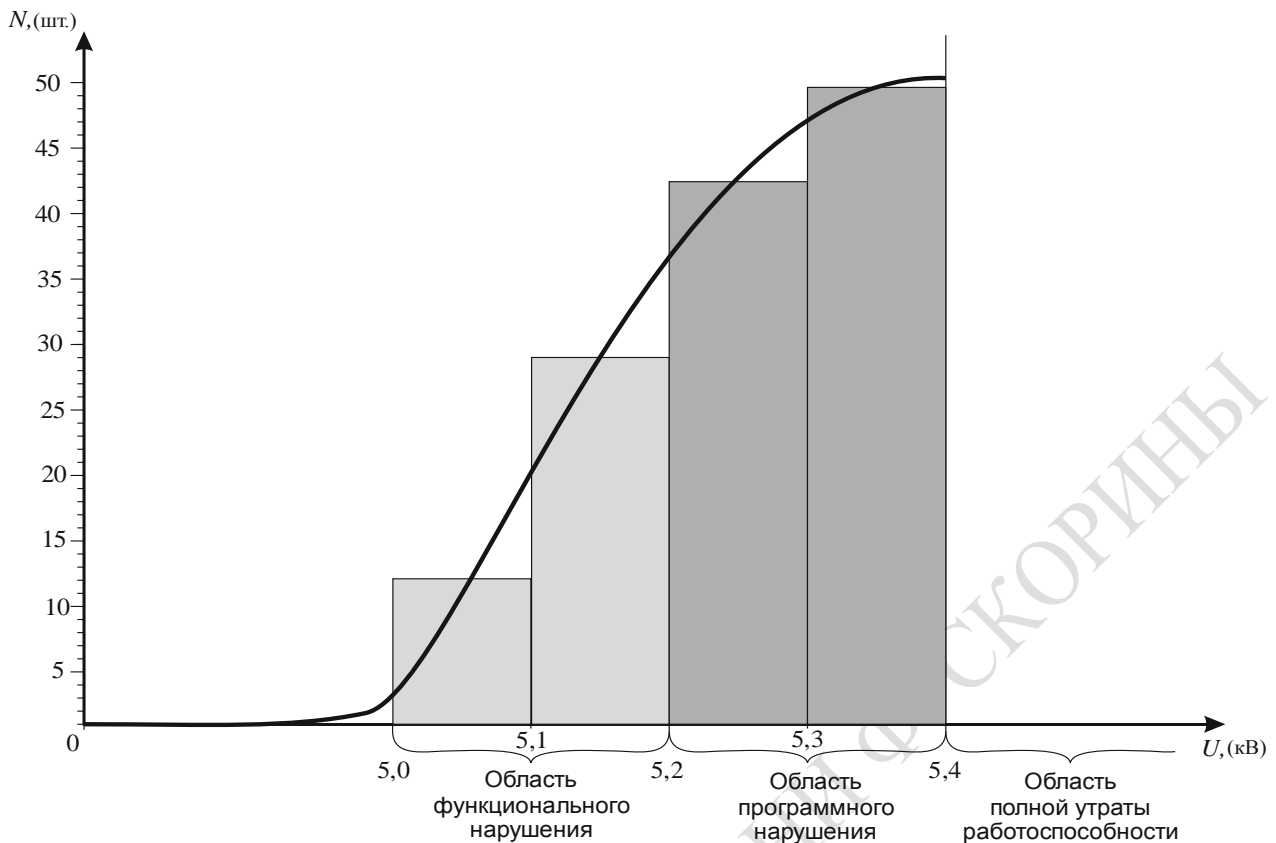


Рисунок 7 – Диаграмма проявления повреждений массива данных

Из рисунка видно, что экспериментально полученные данные по количеству микроконтроллеров ( $N$ ), в которых были выявлены нарушения в установленном массиве данных и представленные в виде интервалов значения напряжения ( $U$ ) воздействующего разряда статического электричества, можно описать нормальным законом распределения.

**Закключение.** В результате проведенного анализа микроконтроллеров с установленным во встроенную *flash*-память программным обеспечением с помощью специализированных хеш-функций было выявлено, что нарушения в массиве данных наступает значительно раньше, чем катастрофическое повреждение самого МК [14].

Результаты экспериментов позволяют создавать и интегрировать в процесс производства и эксплуатации современных микроконтроллеров вероятностные показатели, которые позволят осуществить наиболее точное прогнозирование потенциально ненадежных МК на этапе инсталляции программного обеспечения.

### Литература

1. Горлов, М.И. Электростатические заряды в электронике / М.И. Горлов, А.В. Емельянов, В.И. Плебанович. – Минск : Белорусская наука, 2006. – 295 с.
2. Кечиев, Л.Н. Защита электронных средств от воздействия статического электричества / Л.Н. Кечиев, Е.Д. Пожидаев // М. : Издательский Дом «Технологии», 2005. – 352 с.
3. Хабигер, Э. Электромагнитная совместимость. Основы ее обеспечения в технике / Э. Хабигер ; пер. И.П. Кужекина. / под ред. Б.К. Максимова. – М. : Энергоатомиздат, 1995. – 304 с.
4. Портнягин, Н.Н. Теория и методы диагностики судовых электрических средств автоматизации / Н.Н. Портнягин, Г.А. Пюкке. – Петропавловск-Камчатский : КамчатГТУ, 2003. – 117 с.
5. Алексеев, В.Ф. Методика испытания микроконтроллеров на чувствительность к электростатическим разрядам / В.Ф. Алексеев, Н.И. Силков, Г.А. Пискун, А.Н. Пикулик // Доклады БГУИР. – 2011. – № 5 (59). – С. 5–12.
6. Алексеев, В.Ф. Методика оценки устойчивости микроконтроллеров к воздействию разрядов статического электричества при ступенчатом повышении напряжения / В.Ф. Алексеев, Г.А. Пискун // Вестник Рязанского государственного радиотехнического университета. – 2012. – № 2 (40). – С. 34–40.

7. Адлер, Ю.П. Планирование эксперимента при поиске оптимальных условий. Программное введение в планирование эксперимента / Ю.П. Адлер, Е.В. Маркова, Ю.В. Грановский // М. : Наука, 1976 – 144 с.
8. USB программатор ChipProg-481 [Электронный ресурс].– Режим доступа: <http://www.chipdip.ru>. Дата доступа 20.07.2013.
9. Электромагнитная совместимость. Часть 4–2. Методы испытаний и измерений. Испытания на устойчивость к электростатическим разрядам : СТБ МЭК 61000-4-2-2006. – Введ. 08.12.06. – Минск : Межгос. совет по стандартизации, метрологии и сертификации : Белорус. гос. ин-т стандартизации и сертификации, 2006. – 27 с.
10. Микросхемы интегральные. Методы испытаний. Методы электрических испытаний. Часть 7. : ОСТ 11 073.013-2008. – Введ. 01.01.09. – Российская Федерация : Госстандарт России, 2009. – 35 с.
11. Datasheet Attiny 2313/V [Электронный ресурс]. – 2009. – Режим доступа: <http://www.datasheet.su>. Дата доступа 22.07.2013.
12. Бродин, В.Б. Системы на микроконтроллерах и БИС программируемой логики. / В.Б. Бродин, А.В. Калинин // М. : Издательство ЭКОМ, 2002. – 400 с.
13. Пискун, Г.А. Устойчивость радиоэлектронного оборудования на базе микроконтроллеров к электростатическим разрядам / Г.А. Пискун, В.Ф. Алексеев, А.Н. Пикулик // Стандартизация. – 2012. – № 1–2012. – С. 37–39.
14. Пискун, Г.А. Контроль функционирования микроконтроллеров при воздействии электростатического разряда / Г.А. Пискун, В.Ф. Алексеев // Доклады БГУИР. – 2012. – № 6 (68). – С. 12–18.

Белорусский государственный университет  
радиоэлектроники и информатики

Поступила в редакцию 16.01.2013